

РАЗДЕЛ 7. ЛУЧЕВАЯ ДИАГНОСТИКА ЗАБОЛЕВАНИЙ ЭНДОКРИННОЙ СИСТЕМЫ



Рис. 7.1.
Прицельная рентгенограмма
области турецкого седла в боковой
проекции. Визуализируется
увеличение размеров и деструкция
спинки турецкого седла (стрелка).



Рис.7.2.

Магнитно-резонансная томограмма головного мозга. Т2-ВИ в сагиттальной и корональной проекции.

В области турецкого седла, супра- и параселлярно справа имеется дополнительное тканевое образование неправильной округлой формы с четкими неровными контурами, деформирующее мост и правую ножку мозга, деформирующее медиальную часть правой височной доли и 3-й желудочек, частично замещающее основную кость и распространяющееся на полость основной пазухи (стрелки).

Аденома гипофиза с супра- и параселлярным компонентом и инфильтративным ростом.

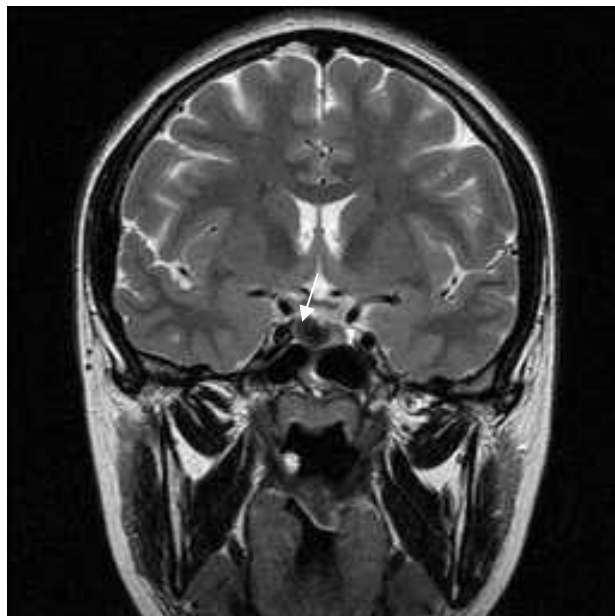


Рис. 7.3.

Магнитно-резонансные томограммы головного мозга. Т2-ВИ в сагиттальной и корональной проекциях. В задней части правой половины передней доли имеется дополнительное тканевое образование правильной округлой формы, дающее резко сниженный сигнал, с четкими контурами, без зоны измененного сигнала вокруг, не выступающее за пределы турецкого седла (стрелка). Микроаденома гипофиза.

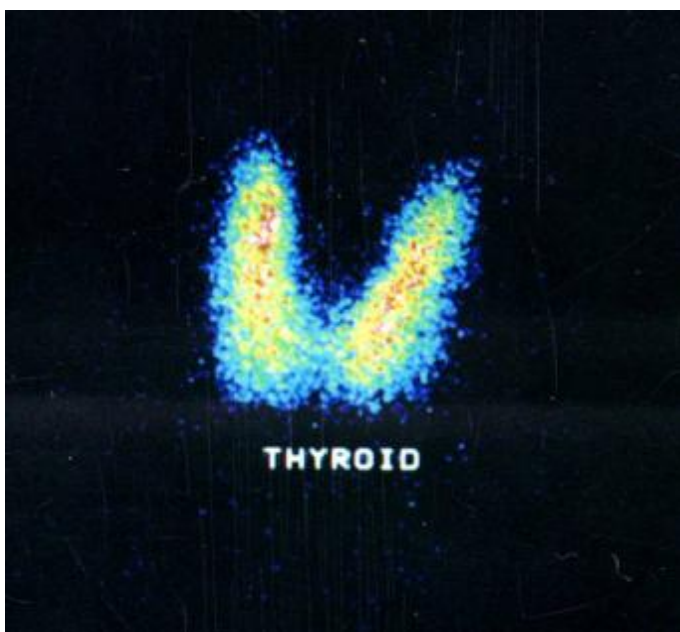


Рис. 7.4.

Сцинтиграмма щитовидной железы в прямой проекции. Размеры железы не увеличены, диффузное равномерное распределение РФП.

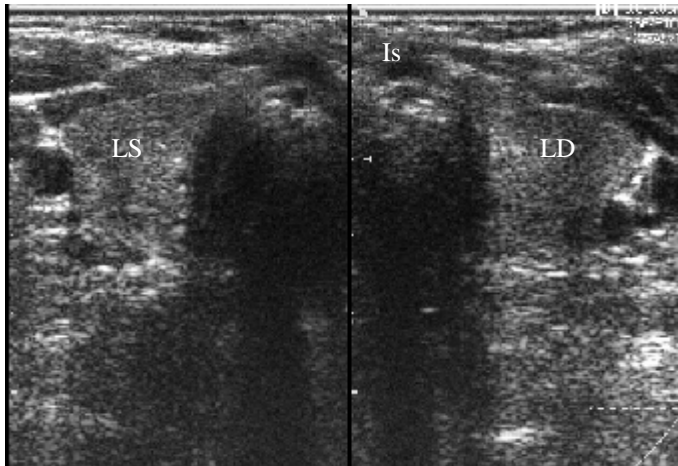


Рис. 7.5.

Эхограмма щитовидной железы.

Обозначения: LD – правая доля, LS – левая доля, Is – перешеек.

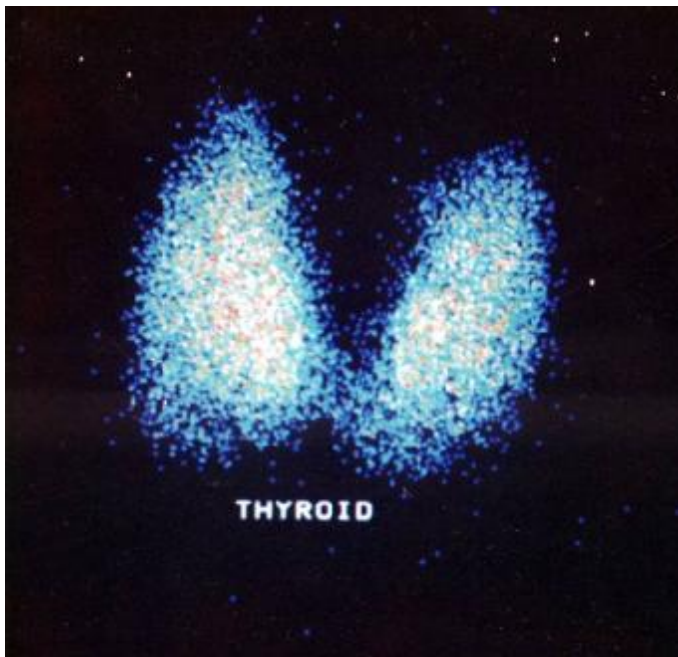


Рис. 7.6.

Сцинтиграмма щитовидной железы.

Диффузный эндемический зоб: увеличение размеров щитовидной железы, диффузное равномерное распределение РФП.

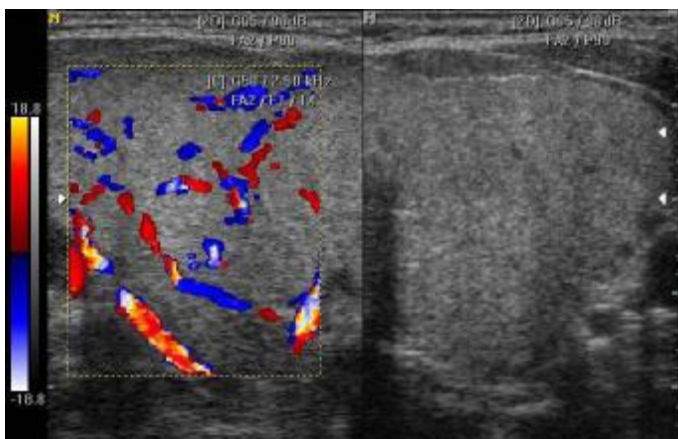


Рис. 7.7.

Эхограмма щитовидной железы с цветным доплеровским картированием. Гиперпластический зоб: крупноячеистая структура паренхимы и ее гиперваскуляризация.

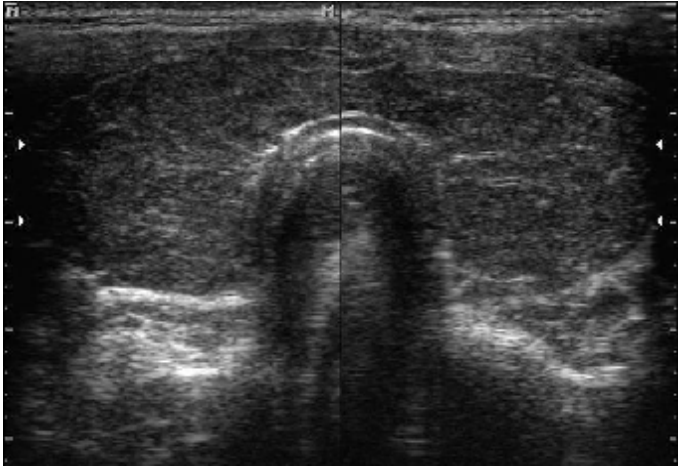


Рис. 7.8.

Эхограмма щитовидной железы.
Хронический тиреоидит:
увеличение размеров железы,
неравномерное утолщение капсулы
и гиперэхогенные тяжи в
паренхиме.

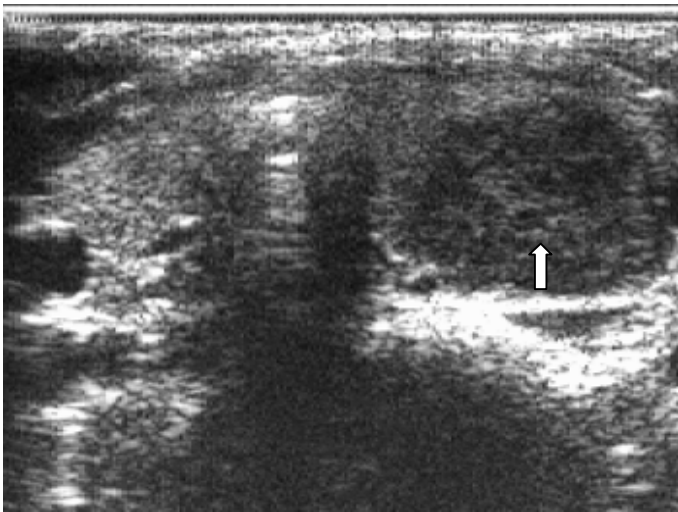


Рис. 7.9.

Эхограмма щитовидной железы.
Аденома железы: гипозоногенное
образование с четкими контурами и
однородной структурой (стрелка).



Рис. 7.10.

Рентгенограмма фаланг пальцев кисти.
Паратиреоидная остеодистрофия: остеопороз,
расщепление коркового слоя без периостальной
реакции.



Рис. 7.11.
Рентгеновская компьютерная томограмма поджелудочной железы. Глюкагонома: объемное образование в области хвоста поджелудочной железы гиподенсивной структуры (стрелка).

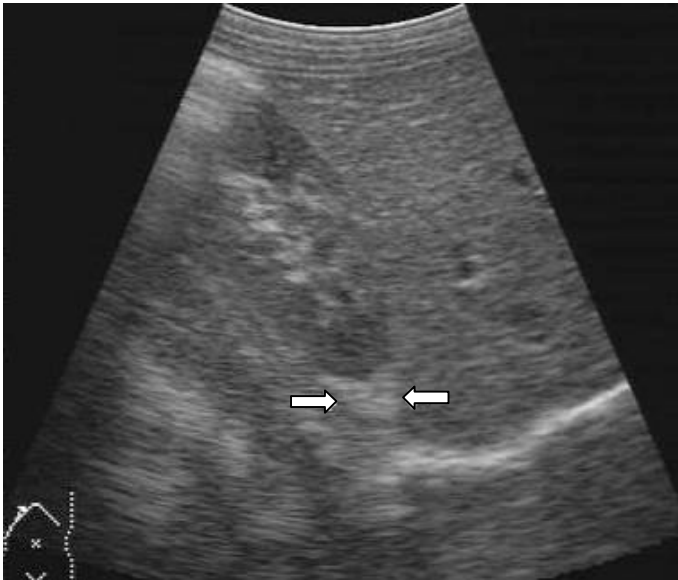


Рис. 7.12.
Эхограмма правого надпочечника. Гиперэхогенное образование в области верхнего полюса почки (стрелки).

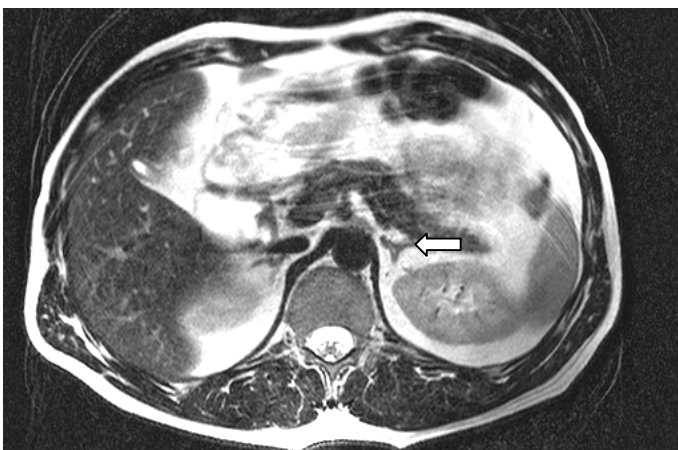


Рис. 7.13.
Магнитно-резонансная томограмма Т1-режим – срез на уровне надпочечников. Левый надпочечник указан стрелкой.



Рис. 7.14.
Рентгеновская компьютерная
томограмма – срез на уровне
надпочечников. Аденома правого
надпочечника (стрелка).